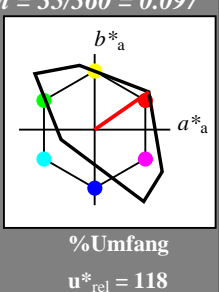


Eingabe: Farbmehrstufiges Fernseh-Licht-System TLS18
 für Bunton $h^* = lab^*h = 35/360 = 0.097$
 lab^*tch und lab^*nch

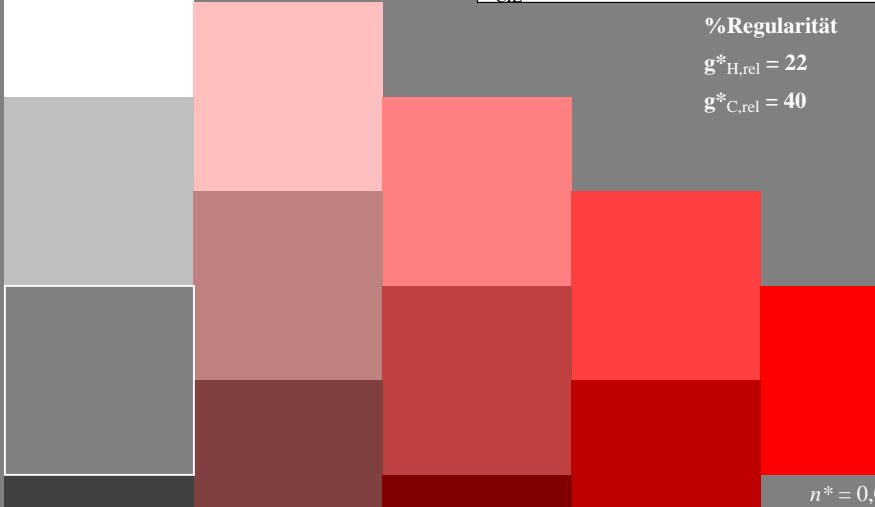
D65: Bunton O
 LCH*Ma: 53 87 35
 olv*Ma: 1.0 0.0 0.0
Dreiecks-Helligkeit



TLS18; adaptierte CIELAB-Daten					
$L^*=L^*_a$	a^*_a	b^*_a	$C^*_{ab,a}$	$h^*_{ab,a}$	
O _{Ma} 52.76	71.63	49.88	87.29	35	
Y _{Ma} 92.74	-20.02	84.97	87.3	103	
L _{Ma} 84.0	-78.98	73.94	108.2	137	
C _{Ma} 87.14	-44.41	-13.11	46.32	196	
V _{Ma} 35.47	64.92	-95.06	115.12	304	
M _{Ma} 59.01	89.33	-55.67	105.26	328	
N _{Ma} 18.01	0.0	0.0	0.0	0	
W _{Ma} 95.41	0.0	0.0	0.0	0	
R _{CIE} 39.92	58.74	27.99	65.07	25	
J _{CIE} 81.26	-2.88	71.56	71.62	92	
G _{CIE} 52.23	-42.41	13.6	44.55	162	
B _{CIE} 30.57	1.41	-46.46	46.49	272	



%Regularität
 $g^*_{H,rel} = 22$
 $g^*_{C,rel} = 40$



n* = 0,00

n* = 0,25

Schwarzheit n*

n* = 0,50

0,25 0,50 0,75 1,00

relative Buntheit c*

Ausgabe: Farbmehrstufiges Offset-Reflektiv-System ORS18

für Bunton $h^* = lab^*h = 38/360 = 0.105$

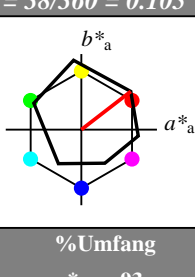
lab^*tch und lab^*nch

D65: Bunton O

LCH*Ma: 48 83 38

olv*Ma: 1.0 0.0 0.0

Dreiecks-Helligkeit



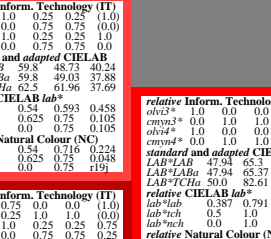
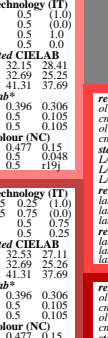
ORS18; adaptierte CIELAB-Daten

$L^*=L^*_a$	a^*_a	b^*_a	$C^*_{ab,a}$	$h^*_{ab,a}$
O _{Ma} 47.94	65.39	50.52	82.63	38
Y _{Ma} 90.37	-10.26	91.75	92.32	96
L _{Ma} 50.9	-62.83	34.96	71.91	151
C _{Ma} 58.62	-30.34	-45.01	54.3	236
V _{Ma} 25.72	31.1	-44.4	54.22	305
M _{Ma} 48.13	75.28	-8.36	75.74	354
N _{Ma} 18.01	0.0	0.0	0.0	0
W _{Ma} 95.41	0.0	0.0	0.0	0
R _{CIE} 39.92	58.66	26.98	64.57	25
J _{CIE} 81.26	-2.16	67.76	67.79	92
G _{CIE} 52.23	-42.25	11.76	43.87	164
B _{CIE} 30.57	1.15	-46.84	46.86	271

%Regularität

$g^*_{H,rel} = 57$

$g^*_{C,rel} = 59$

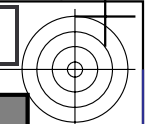
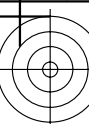


n* = 0,00

n* = 0,25

Schwarzheit n*

BAM-Registrierung: 20060101-NG46/10L/L46G00SP.PS./PDF BAM-Material: Code=rha4ta
 Anwendung für Beurteilung und Messung von Drucker- oder Monitorsystemen
 NG46 / Form: 1/10, Serie: 1/1, Seite: 1
 Seite 1/1, Seite 1



C

M

M

Y

O

L

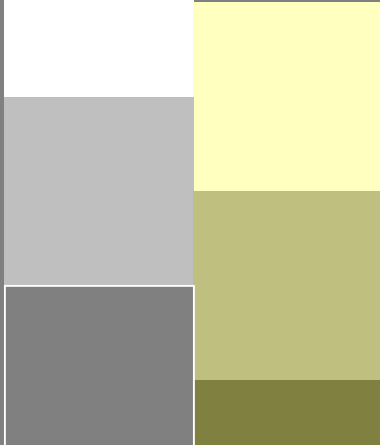
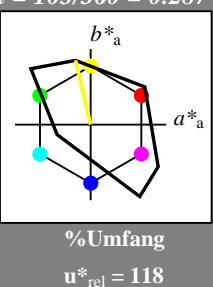
V

Eingabe: Farbmétrisches Fernseh-Licht-System TLS18

für Bunton $h^* = lab^*h = 103/360 = 0.287$
 lab^*tch und lab^*nch

D65: Bunton Y
LCH*Ma: 93 87 103
olv*Ma: 1.0 1.0 0.0

Dreiecks-Helligkeit



TLS18; adaptierte CIELAB-Daten

	$L^*=L^*_a$	a^*_a	b^*_a	$C^*_{ab,a}$	$h^*_{ab,a}$
O _{Ma}	52.76	71.63	49.88	87.29	35
Y _{Ma}	92.74	-20.02	84.97	87.3	103
L _{Ma}	84.0	-78.98	73.94	108.2	137
C _{Ma}	87.14	-44.41	-13.11	46.32	196
V _{Ma}	35.47	64.92	-95.06	115.12	304
M _{Ma}	59.01	89.33	-55.67	105.26	328
N _{Ma}	18.01	0.0	0.0	0.0	0
W _{Ma}	95.41	0.0	0.0	0.0	0
R _{CIE}	39.92	58.74	27.99	65.07	25
J _{CIE}	81.26	-2.88	71.56	71.62	92
G _{CIE}	52.23	-42.41	13.6	44.55	162
B _{CIE}	30.57	1.41	-46.46	46.49	272

%Umfang

$u^*_{rel} = 118$

%Regularität

$g^*_{H,rel} = 22$

$g^*_{C,rel} = 40$

$n^* = 0,00$

$n^* = 0,25$

$n^* = 0,50$

$n^* = 1,0$

$n^* = 1,0$

\downarrow

$n^* = 0,00$

$n^* = 0,25$

$n^* = 0,50$

$n^* = 1,0$

$n^* = 1,0$

\downarrow

\downarrow

\downarrow

Ausgabe: Farbmétrisches Offset-Reflektiv-System ORS18

für Bunton $h^* = lab^*h = 96/360 = 0.268$

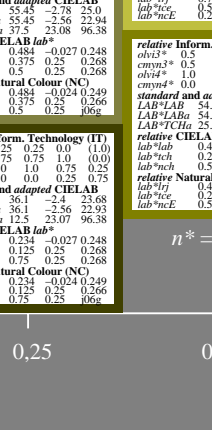
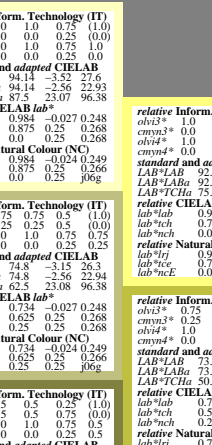
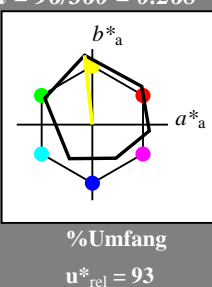
lab^*tch und lab^*nch

D65: Bunton Y

LCH*Ma: 90 92 96

olv*Ma: 1.0 1.0 0.0

Dreiecks-Helligkeit



ORS18; adaptierte CIELAB-Daten

	$L^*=L^*_a$	a^*_a	b^*_a	$C^*_{ab,a}$	$h^*_{ab,a}$
O _{Ma}	47.94	65.39	50.52	82.63	38
Y _{Ma}	90.37	-10.26	91.75	92.32	96
L _{Ma}	50.9	-62.83	34.96	71.91	151
C _{Ma}	58.62	-30.34	-45.01	54.3	236
V _{Ma}	25.72	31.1	-44.4	54.22	305
M _{Ma}	48.13	75.28	-8.36	75.74	354
N _{Ma}	18.01	0.0	0.0	0.0	0
W _{Ma}	95.41	0.0	0.0	0.0	0
R _{CIE}	39.92	58.66	26.98	64.57	25
J _{CIE}	81.26	-2.16	67.76	67.79	92
G _{CIE}	52.23	-42.25	11.76	43.87	164
B _{CIE}	30.57	1.15	-46.84	46.86	271

%Regularität

$g^*_{H,rel} = 57$

$g^*_{C,rel} = 59$

$n^* = 0,00$

$n^* = 0,25$

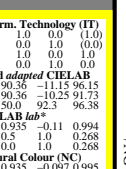
$n^* = 0,50$

$n^* = 1,0$

\downarrow

\downarrow

\downarrow



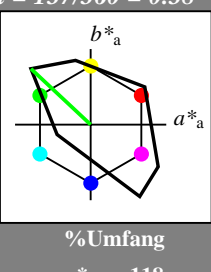
NG46-7, 5 stufige Reihen für konstanten CIELAB Bunton 103/360 = 0.287 (links)

5 stufige Reihen für konstanten CIELAB Bunton 96/360 = 0.268 (rechts)

BAM-Prüfvorlage NG46; Farbmétrik-Systeme ORS18 & ORS18 input: $olv^* setrgbcolor$
D65: 5stufige Farbreihen und Koordinatendaten für 10 Bunttöne output: Startup (S) data dependend

Eingabe: Farbmétrisches Fernseh-Licht-System TLS18

für Bunton $h^* = lab^*h = 137/360 = 0.38$
 lab^*tch und lab^*nch



D65: Bunton L

LCH*Ma: 84 108 137

olv*Ma: 0.0 1.0 0.0

Dreiecks-Helligkeit

1,00



TLS18; adaptierte CIELAB-Daten

	$L^*=L^*_a$	a^*_a	b^*_a	$C^*_{ab,a}$	$h^*_{ab,a}$
OMa	52.76	71.63	49.88	87.29	35
YMa	92.74	-20.02	84.97	87.3	103
LMa	84.0	-78.98	73.94	108.2	137
CMa	87.14	-44.41	-13.11	46.32	196
VMa	35.47	64.92	-95.06	115.12	304
MMa	59.01	89.33	-55.67	105.26	328
NMa	18.01	0.0	0.0	0.0	0
WMa	95.41	0.0	0.0	0.0	0
Rcie	39.92	58.74	27.99	65.07	25
Jcie	81.26	-2.88	71.56	71.62	92
Gcie	52.23	-42.41	13.6	44.55	162
Bcie	30.57	1.41	-46.46	46.49	272

%Regularität

$g^*_{H,rel} = 22$

$g^*_{C,rel} = 40$

$n^* = 0,00$

$n^* = 0,25$

$n^* = 0,50$

$n^* = 0,75$

$n^* = 1,00$



NG46-7, 5 stufige Reihen für konstanten CIELAB Bunnton 137/360 = 0.38 (links)

Ausgabe: Farbmétrisches Offset-Reflektiv-System ORS18

für Bunton $h^* = lab^*h = 151/360 = 0.419$

lab^*tch und lab^*nch

D65: Bunton L

LCH*Ma: 51 72 151

olv*Ma: 0.0 1.0 0.0

Dreiecks-Helligkeit

1,00



%Regularität

$g^*_{H,rel} = 57$

$g^*_{C,rel} = 59$

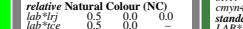
$n^* = 0,00$

$n^* = 0,25$

$n^* = 0,50$

$n^* = 0,75$

$n^* = 1,00$



5 stufige Reihen für konstanten CIELAB Bunnton 151/360 = 0.419 (rechts)

BAM-Prüfvorlage NG46; Farbmétrik-Systeme ORS18 & ORS18 input: $olv^* setrgbcolor$
 D65: 5stufige Farbreihen und Koordinatendaten für 10 Bunntöne output: Startup (S) data dependend

Eingabe: Farbmétrisches Fernseh-Licht-System TLS18

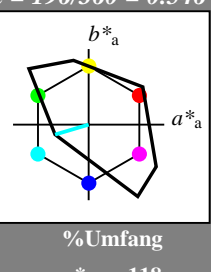
für Bunton $h^* = lab^*h = 196/360 = 0.546$
 lab^*tch und lab^*nch

D65: Bunton C

LCH*Ma: 87 46 196

olv*Ma: 0.0 1.0 1.0

Dreiecks-Helligkeit



%Umfang

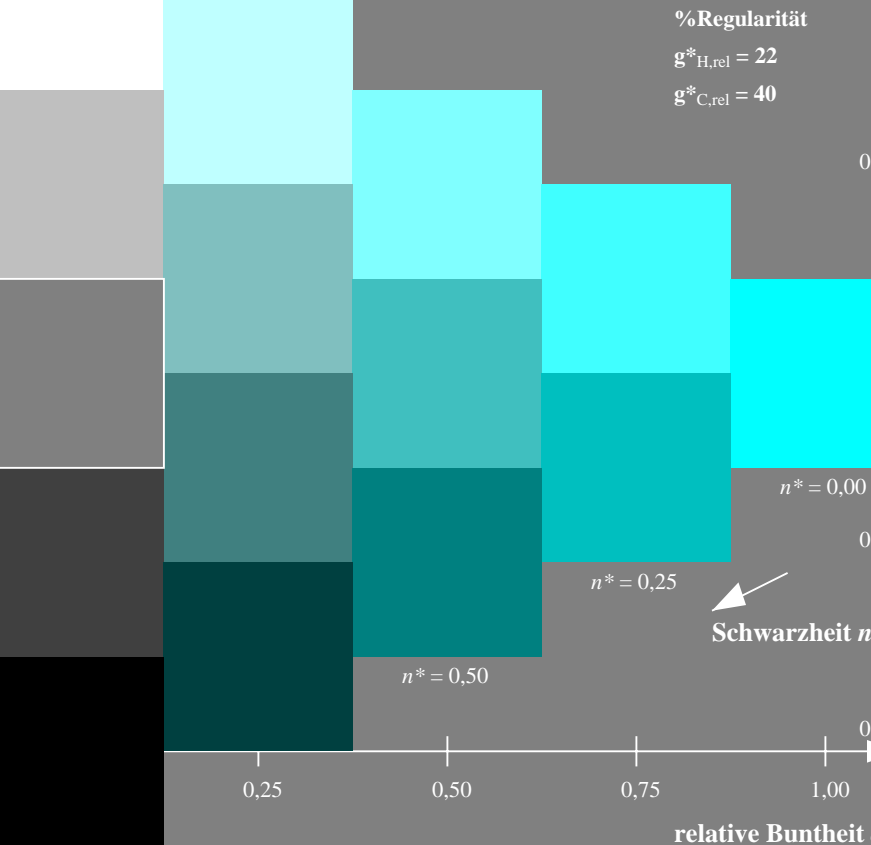
$u^*_{rel} = 118$

1,00



TLS18; adaptierte CIELAB-Daten

	$L^*=L^*_a$	a^*_a	b^*_a	$C^*_{ab,a}$	$h^*_{ab,a}$
O _{Ma}	52.76	71.63	49.88	87.29	35
Y _{Ma}	92.74	-20.02	84.97	87.3	103
L _{Ma}	84.0	-78.98	73.94	108.2	137
C _{Ma}	87.14	-44.41	-13.11	46.32	196
V _{Ma}	35.47	64.92	-95.06	115.12	304
M _{Ma}	59.01	89.33	-55.67	105.26	328
N _{Ma}	18.01	0.0	0.0	0.0	0
W _{Ma}	95.41	0.0	0.0	0.0	0
R _{CIE}	39.92	58.74	27.99	65.07	25
J _{CIE}	81.26	-2.88	71.56	71.62	92
G _{CIE}	52.23	-42.41	13.6	44.55	162
B _{CIE}	30.57	1.41	-46.46	46.49	272



NG46-7,5 stufige Reihen für konstanten CIELAB Bunton 196/360 = 0.546 (links)

Ausgabe: Farbmétrisches Offset-Reflektiv-System ORS18

für Bunton $h^* = lab^*h = 236/360 = 0.656$

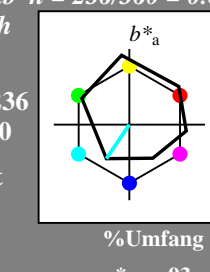
lab^*tch und lab^*nch

D65: Bunton C

LCH*Ma: 59 54 236

olv*Ma: 0.0 1.0 1.0

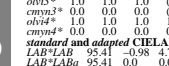
Dreiecks-Helligkeit



%Umfang

$u^*_{rel} = 93$

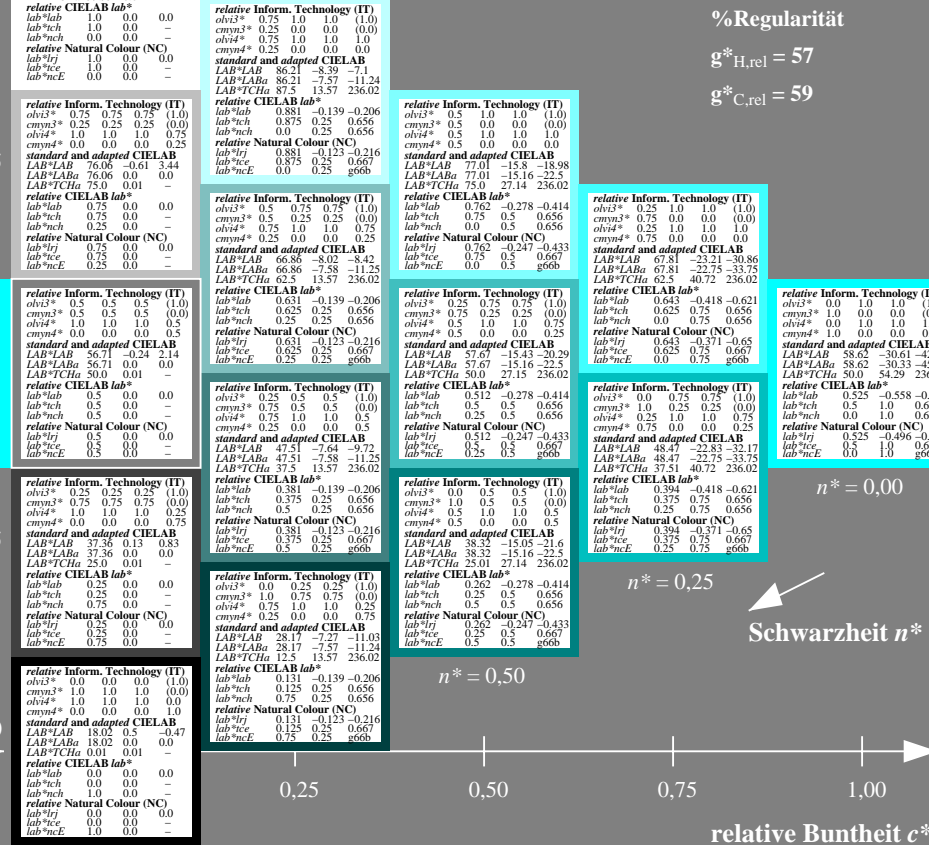
1,00



%Regularität

$g^*_{H,rel} = 22$

$g^*_{C,rel} = 40$



5 stufige Reihen für konstanten CIELAB Bunton 236/360 = 0.656 (rechts)

BAM-Prüfvorlage NG46; Farbmétrik-Systeme ORS18 & ORS18 input: $olv^* setrgbcolor$
D65: 5stufige Farbreihen und Koordinatendaten für 10 Bunttöne output: Startup (S) data dependend

Eingabe: Farbmétrisches Fernseh-Licht-System TLS18

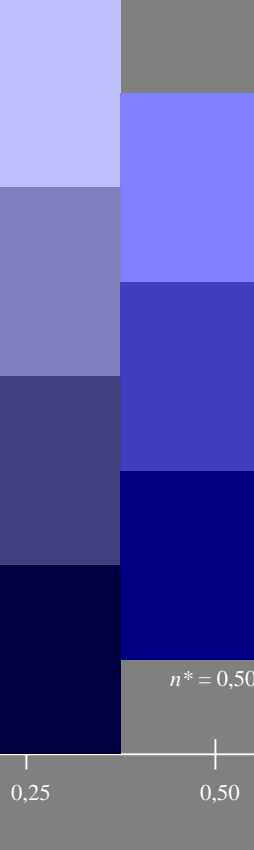
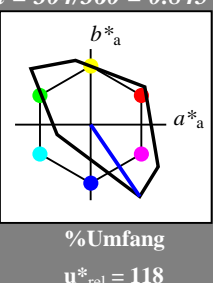
für Bunton $h^* = lab^*h = 304/360 = 0.845$
 lab^*tch und lab^*nch

D65: Bunton V

LCH*Ma: 35 115 304

olv*Ma: 0.0 0.0 1.0

Dreiecks-Helligkeit



Ausgabe: Farbmétrisches Offset-Reflektiv-System ORS18

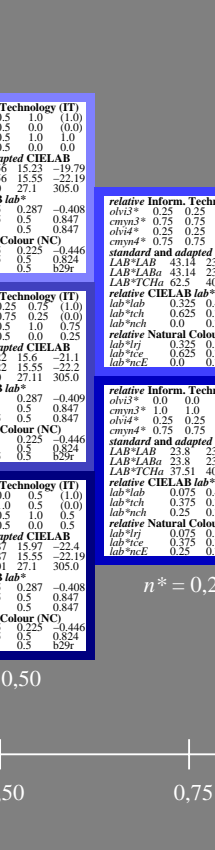
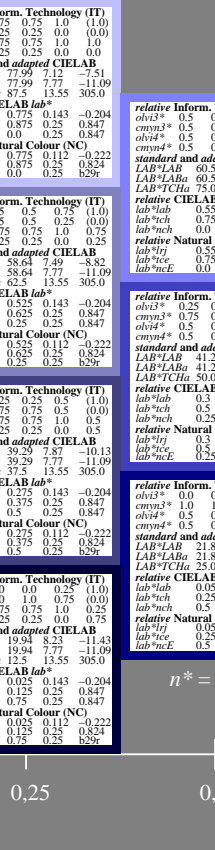
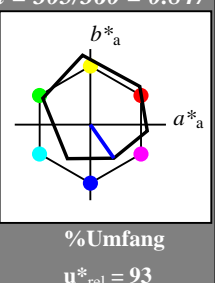
für Bunton $h^* = lab^*h = 305/360 = 0.847$
 lab^*tch und lab^*nch

D65: Bunton V

LCH*Ma: 26 54 305

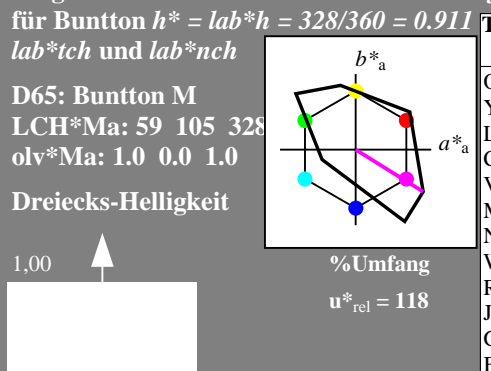
olv*Ma: 0.0 0.0 1.0

Dreiecks-Helligkeit



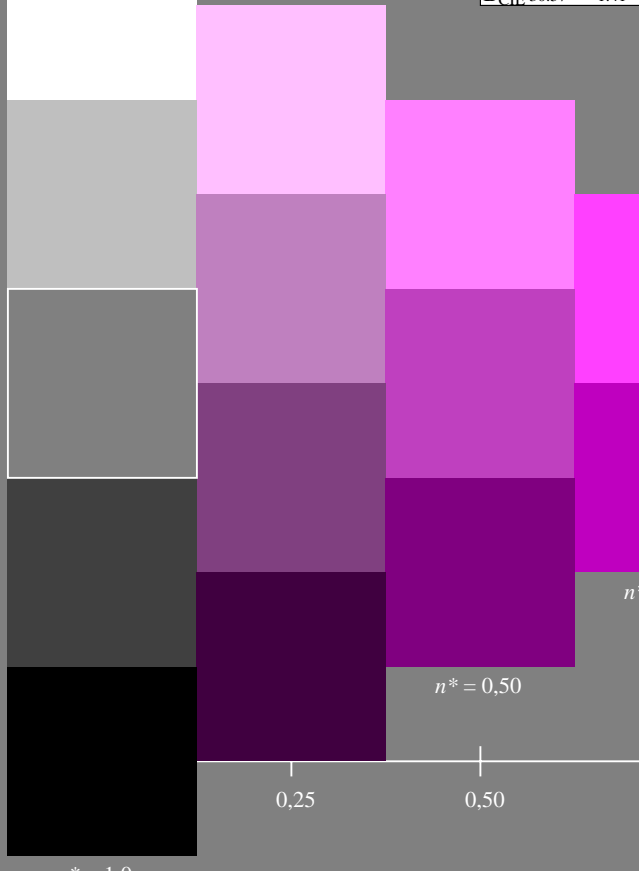
Siehe ähnliche Dateien: <http://www.ps.bam.de/NG46/>
 Technische Information: <http://www.ps.bam.de> Version 2.1, io=1,1?

Eingabe: Farbmétrisches Fernseh-Licht-System TLS18



TLS18; adaptierte CIELAB-Daten

	$L^*=L^*_a$	a^*_a	b^*_a	$C^*_{ab,a}$	$h^*_{ab,a}$
O _{Ma}	52.76	71.63	49.88	87.29	35
Y _{Ma}	92.74	-20.02	84.97	87.3	103
L _{Ma}	84.0	-78.98	73.94	108.2	137
C _{Ma}	87.14	-44.41	-13.11	46.32	196
V _{Ma}	35.47	64.92	-95.06	115.12	304
M _{Ma}	59.01	89.33	-55.67	105.26	328
N _{Ma}	18.01	0.0	0.0	0.0	0
W _{Ma}	95.41	0.0	0.0	0.0	0
R _{CIE}	39.92	58.74	27.99	65.07	25
J _{CIE}	81.26	-2.88	71.56	71.62	92
G _{CIE}	52.23	-42.41	13.6	44.55	162
B _{CIE}	30.57	1.41	-46.46	46.49	272



NG46-7, 5 stufige Reihen für konstanten CIELAB Bunnton 328/360 = 0.911 (links)

Ausgabe: Farbmétrisches Offset-Reflektiv-System ORS18

für Bunton $h^* = lab^*h = 354/360 = 0.982$

lab^*tch und lab^*nch

D65: Bunton M

LCH*Ma: 48 76 354

olv*Ma: 1.0 0.0 1.0

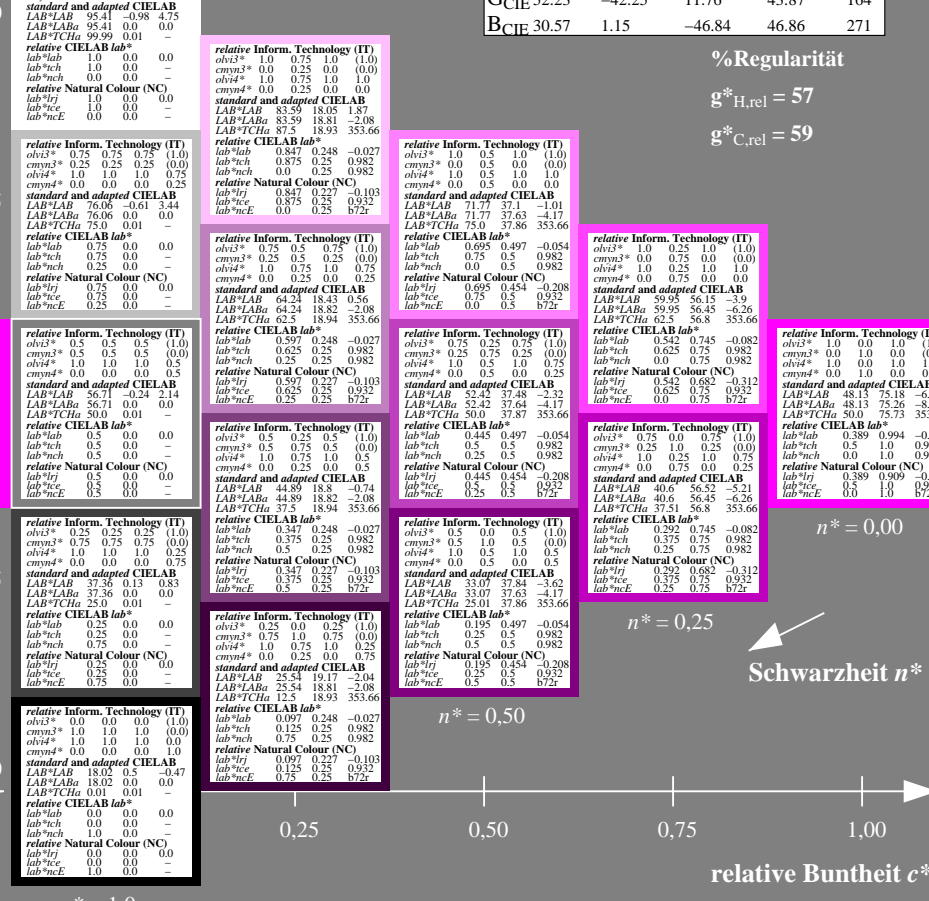
Dreiecks-Helligkeit



%Regularität

$g^*_{H,rel} = 22$

$g^*_{C,rel} = 40$



5 stufige Reihen für konstanten CIELAB Bunnton 354/360 = 0.982 (rechts)

BAM-Prüfvorlage NG46; Farbmétrik-Systeme ORS18 & ORS18 input: olv* setrgbcolor
 D65: 5stufige Farbreihen und Koordinatendaten für 10 Bunntöne output: Startup (S) data dependend

Eingabe: Farbmétrisches Fernseh-Licht-System TLS18

für Bunton $h^* = lab^*h = 25/360 = 0.071$

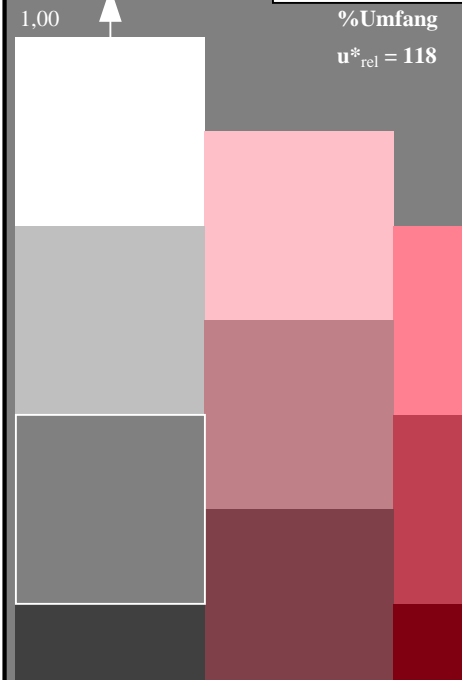
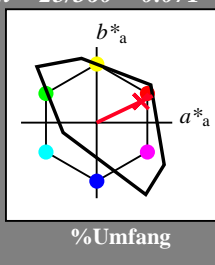
lab^*tch und lab^*nch

D65: Bunton R

LCH*Ma: 54 82 25

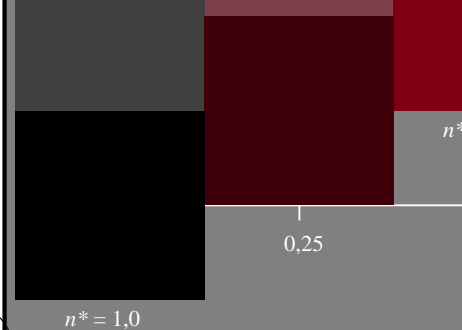
olv*Ma: 1.0 0.0 0.14

Dreiecks-Helligkeit



TLS18; adaptierte CIELAB-Daten

	$L^*=L^*_a$	a^*_a	b^*_a	$C^*_{ab,a}$	$h^*_{ab,a}$
O _{Ma}	52.76	71.63	49.88	87.29	35
Y _{Ma}	92.74	-20.02	84.97	87.3	103
L _{Ma}	84.0	-78.98	73.94	108.2	137
C _{Ma}	87.14	-44.41	-13.11	46.32	196
V _{Ma}	35.47	64.92	-95.06	115.12	304
M _{Ma}	59.01	89.33	-55.67	105.26	328
N _{Ma}	18.01	0.0	0.0	0.0	0
W _{Ma}	95.41	0.0	0.0	0.0	0
R _{CIE}	39.92	58.74	27.99	65.07	25
J _{CIE}	81.26	-2.88	71.56	71.62	92
G _{CIE}	52.23	-42.41	13.6	44.55	162
B _{CIE}	30.57	1.41	-46.46	46.49	272



Ausgabe: Farbmétrisches Offset-Reflektiv-System ORS18

für Bunton $h^* = lab^*h = 25/360 = 0.069$

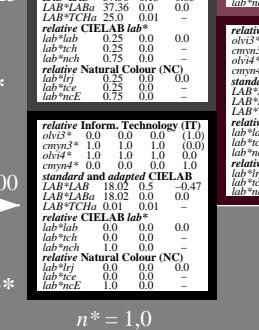
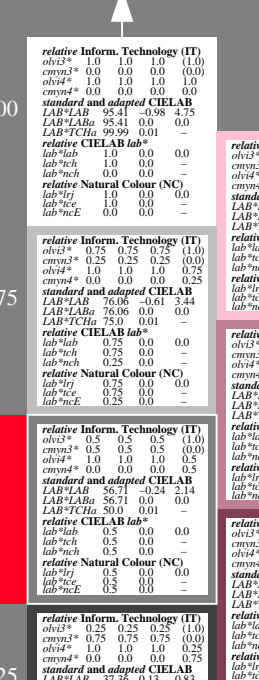
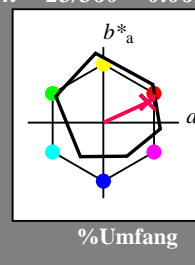
lab^*tch und lab^*nch

D65: Bunton R

LCH*Ma: 48 75 25

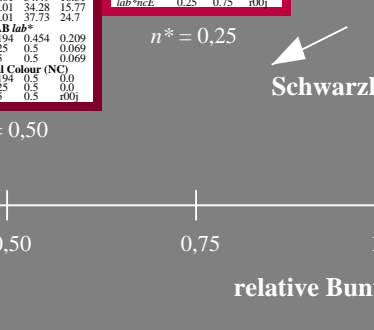
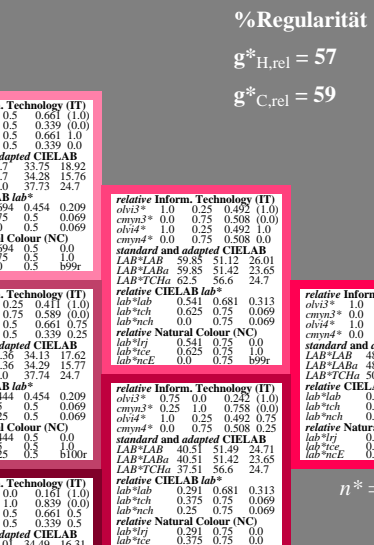
olv*Ma: 1.0 0.0 0.32

Dreiecks-Helligkeit



ORS18; adaptierte CIELAB-Daten

	$L^*=L^*_a$	a^*_a	b^*_a	$C^*_{ab,a}$	$h^*_{ab,a}$
O _{Ma}	47.94	65.39	50.52	82.63	38
Y _{Ma}	90.37	-10.26	91.75	92.32	96
L _{Ma}	50.9	-62.83	34.96	71.91	151
C _{Ma}	58.62	-30.34	-45.01	54.3	236
V _{Ma}	25.72	31.1	-44.4	54.22	305
M _{Ma}	48.13	75.28	-8.36	75.74	354
N _{Ma}	18.01	0.0	0.0	0.0	0
W _{Ma}	95.41	0.0	0.0	0.0	0
R _{CIE}	39.92	58.66	26.98	64.57	25
J _{CIE}	81.26	-2.16	67.76	67.79	92
G _{CIE}	52.23	-42.25	11.76	43.87	164
B _{CIE}	30.57	1.15	-46.84	46.86	271





Eingabe: Farbmétrisches Fernseh-Licht-System TLS18

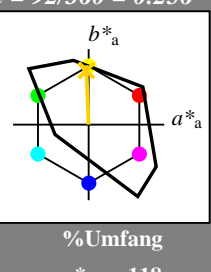
für Bunton $h^* = lab^*h = 92/360 = 0.256$
 lab^*tch und lab^*nch

D65: Bunton J

LCH*Ma: 85 79 92

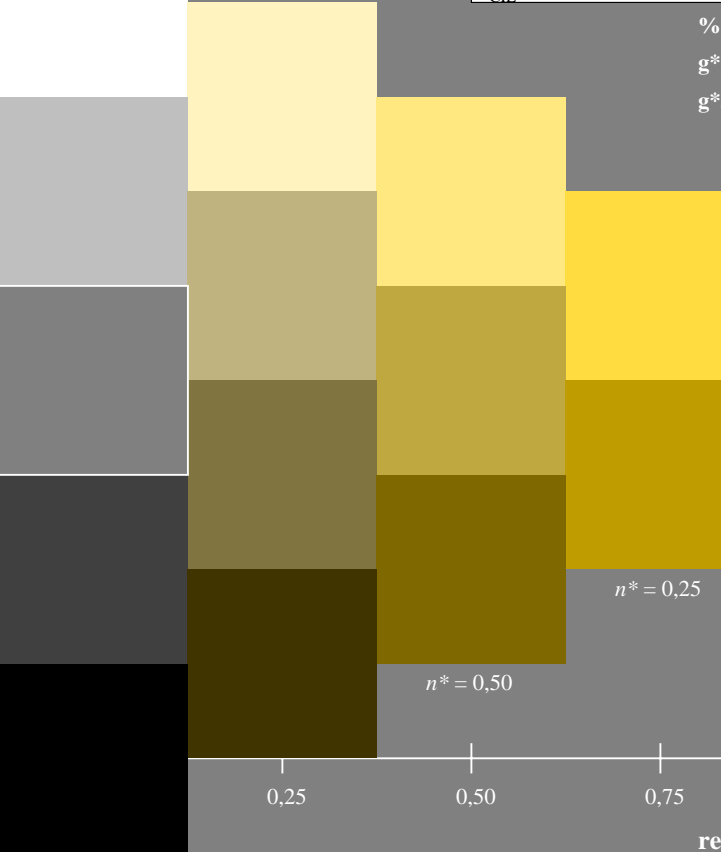
olv*Ma: 1.0 0.82 0.0

Dreiecks-Helligkeit



TLS18; adaptierte CIELAB-Daten

	$L^*=L^*_a$	a^*_a	b^*_a	$C^*_{ab,a}$	$h^*_{ab,a}$
O _{Ma}	52.76	71.63	49.88	87.29	35
Y _{Ma}	92.74	-20.02	84.97	87.3	103
L _{Ma}	84.0	-78.98	73.94	108.2	137
C _{Ma}	87.14	-44.41	-13.11	46.32	196
V _{Ma}	35.47	64.92	-95.06	115.12	304
M _{Ma}	59.01	89.33	-55.67	105.26	328
N _{Ma}	18.01	0.0	0.0	0.0	0
W _{Ma}	95.41	0.0	0.0	0.0	0
R _{CIE}	39.92	58.74	27.99	65.07	25
J _{CIE}	81.26	-2.88	71.56	71.62	92
G _{CIE}	52.23	-42.41	13.6	44.55	162
B _{CIE}	30.57	1.41	-46.46	46.49	272



Ausgabe: Farbmétrisches Offset-Reflektiv-System ORS18

für Bunton $h^* = lab^*h = 92/360 = 0.255$

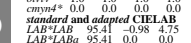
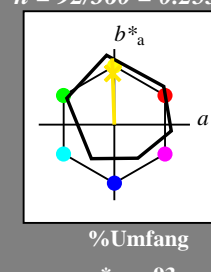
lab^*tch und lab^*nch

D65: Bunton J

LCH*Ma: 86 88 92

olv*Ma: 1.0 0.9 0.0

Dreiecks-Helligkeit



ORS18; adaptierte CIELAB-Daten

	$L^*=L^*_a$	a^*_a	b^*_a	$C^*_{ab,a}$	$h^*_{ab,a}$
O _{Ma}	47.94	65.39	50.52	82.63	38
Y _{Ma}	90.37	-10.26	91.75	92.32	96
L _{Ma}	50.9	-62.83	34.96	71.91	151
C _{Ma}	58.62	-30.34	-45.01	54.3	236
V _{Ma}	25.72	31.1	-44.4	54.22	305
M _{Ma}	48.13	75.28	-8.36	75.74	354
N _{Ma}	18.01	0.0	0.0	0.0	0
W _{Ma}	95.41	0.0	0.0	0.0	0
R _{CIE}	39.92	58.66	26.98	64.57	25
J _{CIE}	81.26	-2.16	67.76	67.79	92
G _{CIE}	52.23	-42.25	11.76	43.87	164
B _{CIE}	30.57	1.15	-46.84	46.86	271

%Regularität

$g^*_{H,rel} = 57$

$g^*_{C,rel} = 59$

5stufige Reihen für konstanten CIELAB Bunton 92/360 = 0.255 (rechts)

NG46-7, 5 stufige Reihen für konstanten CIELAB Bunton 92/360 = 0.256 (links)

BAM-Prüfvorlage NG46; Farbmétrik-Systeme ORS18 & ORS18 input: $olv^* setrgbcolor$
D65: 5stufige Farbreihen und Koordinatendaten für 10 Bunttöne output: Startup (S) data dependend

